# FACULDADE DE ENGENHARIA DE BAURU UNESP PÓS-GRADUAÇÃO EM ENGENHARIA MECÂNICA

PEM 00141 – RADIAÇÃO TÉRMICA

PROF. DR. SANTIAGO DEL RIO OLIVEIRA

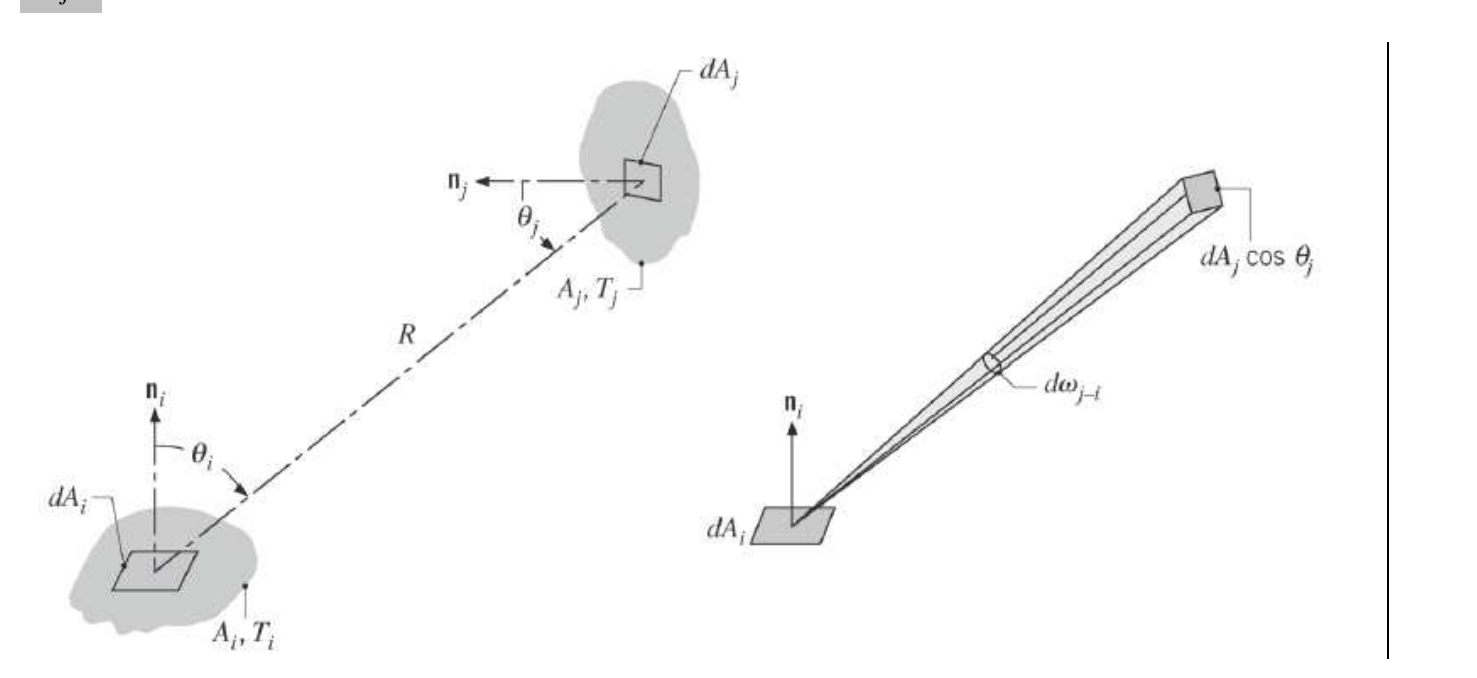
- Serão analisados agora processos radiantes entre duas ou mais superfícies.
- Essa transferência depende fortemente das geometrias e orientações das superfícies, assim como de suas propriedades radiantes e temperaturas.
- Admitiremos inicialmente que as superfícies estão separadas por um meio nãoparticipante (este meio não emite, nem absorve nem espalha a radiação).
- O vácuo satisfaz essa exigência de forma exata e a maioria dos gases satisfaz essa exigência com uma excelente aproximação.

- O primeiro objetivo aqui é estabelecer as características geométricas do problema de transferência de calor radiante utilizando o conceito de fator de forma.
- O segundo objetivo é prever a transferência radiante entre superfícies que formam um ambiente fechado (cavidade).
- Nossa formulação terá as seguintes limitações:
  - 1. Superfícies opacas.
  - 2. Superfícies difusas.
  - 3. Superfícies cinzas.
- Finalmente, será dada uma idéia da troca radiante com meio participante (um gás).

## 13.1-O FATOR DE FORMA (ou de configuração, de visão ou de vista)

# 13.1-A integral do fator de forma

-  $F_{ij}$ : é a fração da radiação que deixa a superfície i e é interceptada pela superfície j.



$$F_{ij} = \frac{q_{i \to j}}{A_i J_i}$$

- A taxa na qual a radiação deixa  $dA_i$  e é interceptada por  $dA_j$  pode ser determinada utilizando o conceito de intensidade de radiação:

$$dq_{i\to j} = I_{e+r,i}\cos\theta_i dA_i d\omega_{j-i}$$

 $-I_{e+r,i}$  é a intensidade da radiação que deixa a superfície i, por emissão e reflexão e  $d\omega_{j-i}$  é o ângulo sólido subentendido por  $dA_j$  quando visto de  $dA_i$ . Da definição de  $d\omega_{j-i}$ :

$$d\omega_{j-i} = \frac{dA_j \cos \theta_j}{R^2}$$

- Combinando as expressões de  $dq_{i o j}$  e  $d\omega_{j-i}$  obtém-se:

$$dq_{i \to j} = I_{e+r,i} \cos \theta_i dA_i \frac{dA_j \cos \theta_j}{R^2} = I_{e+r,i} \frac{\cos \theta_i \cos \theta_j}{R^2} dA_i dA_j$$

- Considerando que *i* emite e reflete de forma difusa,  $J = \pi I_{e+r}$ , de forma que:

$$dq_{i\to j} = J_i \frac{\cos\theta_i \cos\theta_j}{\pi R^2} dA_i dA_j$$

- A taxa total na qual a radiação deixa a superfície i e é interceptada por j pode ser obtida pela integração sobre as superfícies, onde, considerando  $J_i$  uniforme ao longo de  $A_i$ :

$$q_{i\to j} = J_i \int_{A_i} \int_{A_j} \frac{\cos\theta_i \cos\theta_j}{\pi R^2} dA_i dA_j$$

- Da definição do fator de forma:

$$F_{ij} = \frac{q_{i \to j}}{A_i J_i} = \frac{J_i \int_{A_i} \int_{A_j} \frac{\cos \theta_i \cos \theta_j}{\pi R^2} dA_i dA_j}{A_i J_i} = \frac{1}{A_i} \int_{A_i} \int_{A_j} \frac{\cos \theta_i \cos \theta_j}{\pi R^2} dA_i dA_j \quad (*)$$

- De maneira análoga, o fator de forma  $F_{ji}$  é definido como a fração da radiação que deixa  $dA_j$  e é interceptada por  $dA_i$ :

$$F_{ji} = \frac{q_{j \to i}}{A_j J_j} = \frac{J_j \int_{A_i} \int_{A_j} \frac{\cos \theta_i \cos \theta_j}{\pi R^2} dA_i dA_j}{A_j J_j} = \frac{1}{A_j} \int_{A_i} \int_{A_j} \frac{\cos \theta_i \cos \theta_j}{\pi R^2} dA_i dA_j$$
 (\*\*)

- AS EQS (\*) E (\*\*) PODEM SER UTILIZADAS PARA SUPERFÍCIES EMISSORAS E REFLETORAS DIFUSAS E COM RADIOSIDADES UNIFORMES.

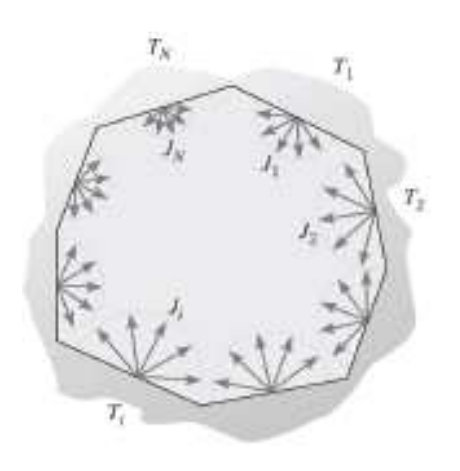
## 13.1.2-Relações do Fator de Forma

- Igualando as integrais das expressões (\*) e (\*\*) obtém-se:

 $A_i F_{ij} = A_j F_{ji}$  (relação de reciprocidade)

- Regra da soma para cavidades fechadas:

$$\sum_{j=1}^{N} F_{ij} = 1$$



 $F_{ii} \neq 0$  para superfície côncava

 $F_{ii} = 0$  para superfície convexa e plana

- Essa regra é uma consequência da conservação da energia que estabelece que toda a radiação que deixa a superfície *i* deve ser interceptada pelas superfícies da cavidade.
- Para uma cavidade com N superfícies são necessários  $N^2$  fatores de forma.

- Por exemplo, para uma cavidade triangular (N = 3):

$$\begin{bmatrix} F_{11} & F_{12} & F_{13} \\ F_{21} & F_{22} & F_{23} \\ F_{31} & F_{32} & F_{33} \end{bmatrix}$$
 (9 fatores de forma)

- Esses 9 fatores de forma podem ser obtidas da seguinte forma:

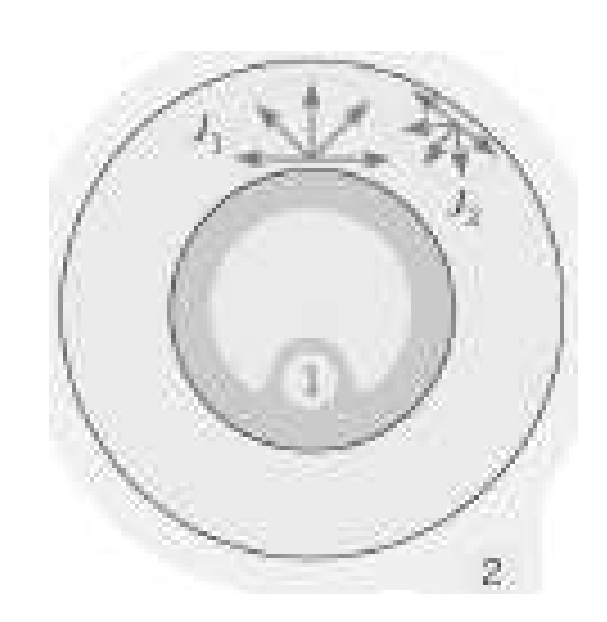
## 3 PELA REGRA DA SOMA, 3 PELA RECIPROCIDADE, 3 DIRETAMENTE

- Utilizando *N* tem-se então que:

$$N$$
 equações obtidas pela regra da soma,  $\frac{N(N-1)}{2}$  equações obtidas pela reciprocidade

$$\frac{N(N-1)}{2}$$
 equações obtidas diretamente

## - Por exemplo:



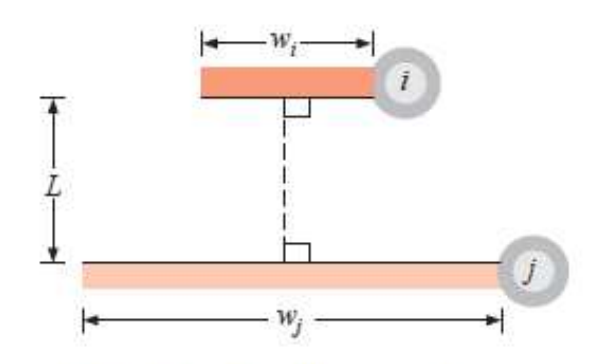
$$N=2 \Rightarrow N^2=4$$
 fatores de forma  $F_{11}+F_{12}=1$  (soma)  $F_{21}+F_{22}=1$  (soma)  $A_1F_{12}=A_2F_{21}$  (reciprocidade)  $F_{12}=1$  (observação)  $F_{11}=0$  (superfície convexa) Assim:  $F_{21}=\frac{A_1}{A_2}$  e  $F_{22}=1-\left(\frac{A_1}{A_2}\right)$ 

- Para geometrias mais complicadas, o fator de forma pode ser determinado pela solução da integral dupla das Eqs. (\*) e (\*\*).
- Tais soluções foram obtidas para diversas configurações e estão disponíveis na forma de equações, gráficos e tabelas.
- As figuras abaixo mostram alguns fatores de forma para geometrias bidimensionais e tridimensionais.
- Uma coletânea bastante completa de fatores de forma pode ser vista na página: <a href="http://www.thermalradiation.net">http://www.thermalradiation.net</a>

## TABLE 13.1 View Factors for Two-Dimensional Geometries [4]

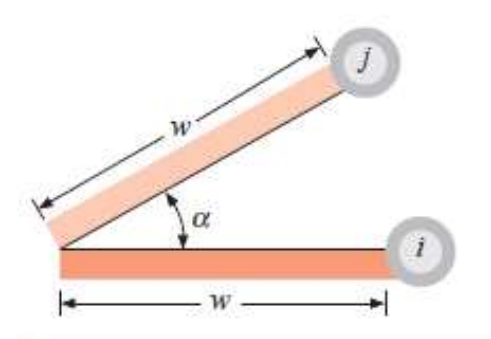
Geometry Relation

## Parallel Plates with Midlines Connected by Perpendicular



$$F_{ij} = \frac{[(W_i + W_j)^2 + 4]^{1/2} - [(W_j - W_i)^2 + 4]^{1/2}}{2W_i}$$
 
$$W_i = w_i/L, W_j = w_j/L$$

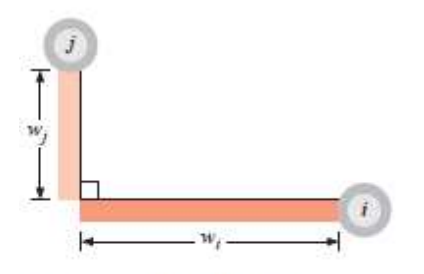
### Inclined Parallel Plates of Equal Width and a Common Edge



$$F_{ij} = 1 - \sin\left(\frac{\alpha}{2}\right)$$

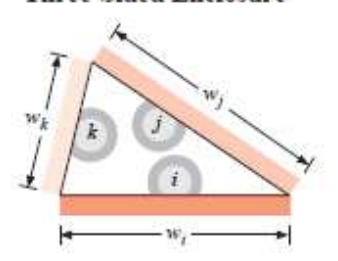
Geometry Relation

#### Perpendicular Plates with a Common Edge



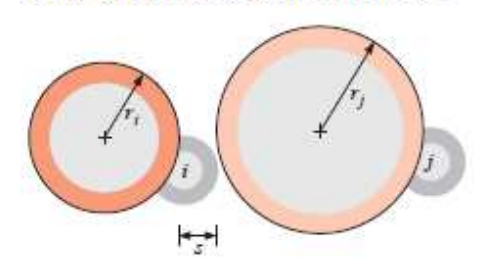
$$F_{ij} = \frac{1 + (w_j/w_i) - [1 + (w_j/w_i)^2]^{1/2}}{2}$$

#### Three-Sided Enclosure



$$F_{ij} = \frac{w_i + w_j - w_j}{2w_i}$$

#### Parallel Cylinders of Different Radii

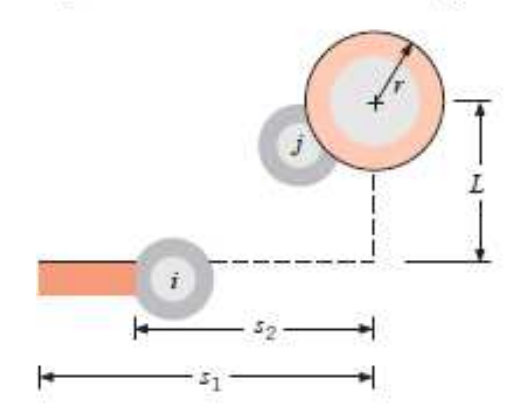


$$F_{ij} = \frac{1}{2\pi} \left\{ \pi + \left[ C^2 - (R+1)^2 \right]^{1/2} - \left[ C^2 - (R-1)^2 \right]^{1/2} + (R-1)\cos^{-1} \left[ \left( \frac{R}{C} \right) - \left( \frac{1}{C} \right) \right] - (R+1)\cos^{-1} \left[ \left( \frac{R}{C} \right) + \left( \frac{1}{C} \right) \right] \right\}$$

$$= r_i/r_i, S = s/r_i$$

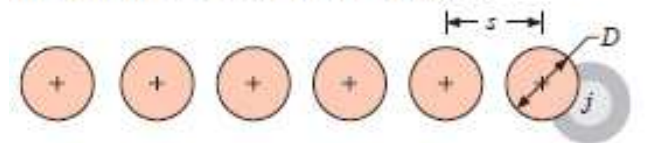
$$R = r_j/r_i, S = s/r_i$$
$$C = 1 + R + S$$

### Cylinder and Parallel Rectangle



$$F_{ij} = \frac{r}{s_1 - s_2} \left[ \tan^{-1} \frac{s_1}{L} - \tan^{-1} \frac{s_2}{L} \right]$$

## Infinite Plane and Row of Cylinder



$$F_{ij} = 1 - \left[1 - \left(\frac{D}{s}\right)^2\right]^{1/2}$$
$$+ \left(\frac{D}{s}\right) \tan^{-1} \left[\left(\frac{s^2 - D^2}{D^2}\right)^{1/2}\right]$$

TABLE 13.2 View Factors for Three-Dimensional Geometries [4]

#### Geometry

#### Relation

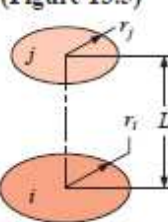
#### Aligned Parallel Rectangles

$$\overline{X} = X/L, \, \overline{Y} = Y/L$$



$$\begin{split} F_{y} &= \frac{2}{\pi \overline{X} \, \overline{Y}} \bigg\{ \ln \bigg[ \frac{\left(1 + \overline{X}^{2}\right) \left(1 + \overline{Y}^{2}\right)}{1 + \overline{X}^{2} + \overline{Y}^{2}} \bigg]^{1/2} \\ &+ \overline{X} \left(1 + \overline{Y}^{2}\right)^{1/2} \tan^{-1} \frac{\overline{X}}{\left(1 + \overline{Y}^{2}\right)^{1/2}} \\ &+ \overline{Y} \left(1 + \overline{X}^{2}\right)^{1/2} \tan^{-1} \frac{\overline{Y}}{\left(1 + \overline{X}^{2}\right)^{1/2}} - \overline{X} \tan^{-1} \overline{X} - \overline{Y} \tan^{-1} \overline{Y} \bigg\} \end{split}$$

#### Coaxial Parallel Disks (Figure 13.5)



$$R_i = r_i/L, R_j = r_j/L$$

$$1 + R^2$$

$$S=1+\frac{1+R_j^2}{R_i^2}$$

$$F_{ij} = \frac{1}{2} \left\{ S - \left[ S^2 - 4(r_j/r_i)^2 \right]^{1/2} \right\}$$

#### Perpendicular Rectangles with a Common Edge (Figure 13.6)



$$H = Z/X, W = Y/X$$

$$\begin{split} F_{ij} &= \frac{1}{\pi W} \bigg( W \tan^{-1} \frac{1}{W} + H \tan^{-1} \frac{1}{H} \\ &- (H^2 + W^2)^{1/2} \tan^{-1} \frac{1}{(H^2 + W^2)^{1/2}} \\ &+ \frac{1}{4} \ln \bigg\{ \frac{(1 + W^2)(1 + H^2)}{1 + W^2 + H^2} \bigg[ \frac{W^2(1 + W^2 + H^2)}{(1 + W^2)(W^2 + H^2)} \bigg]^{W^2} \\ &\times \Bigg[ \frac{H^2(1 + H^2 + W^2)}{(1 + H^2)(H^2 + W^2)} \bigg]^{H^2} \bigg\} \bigg) \end{split}$$

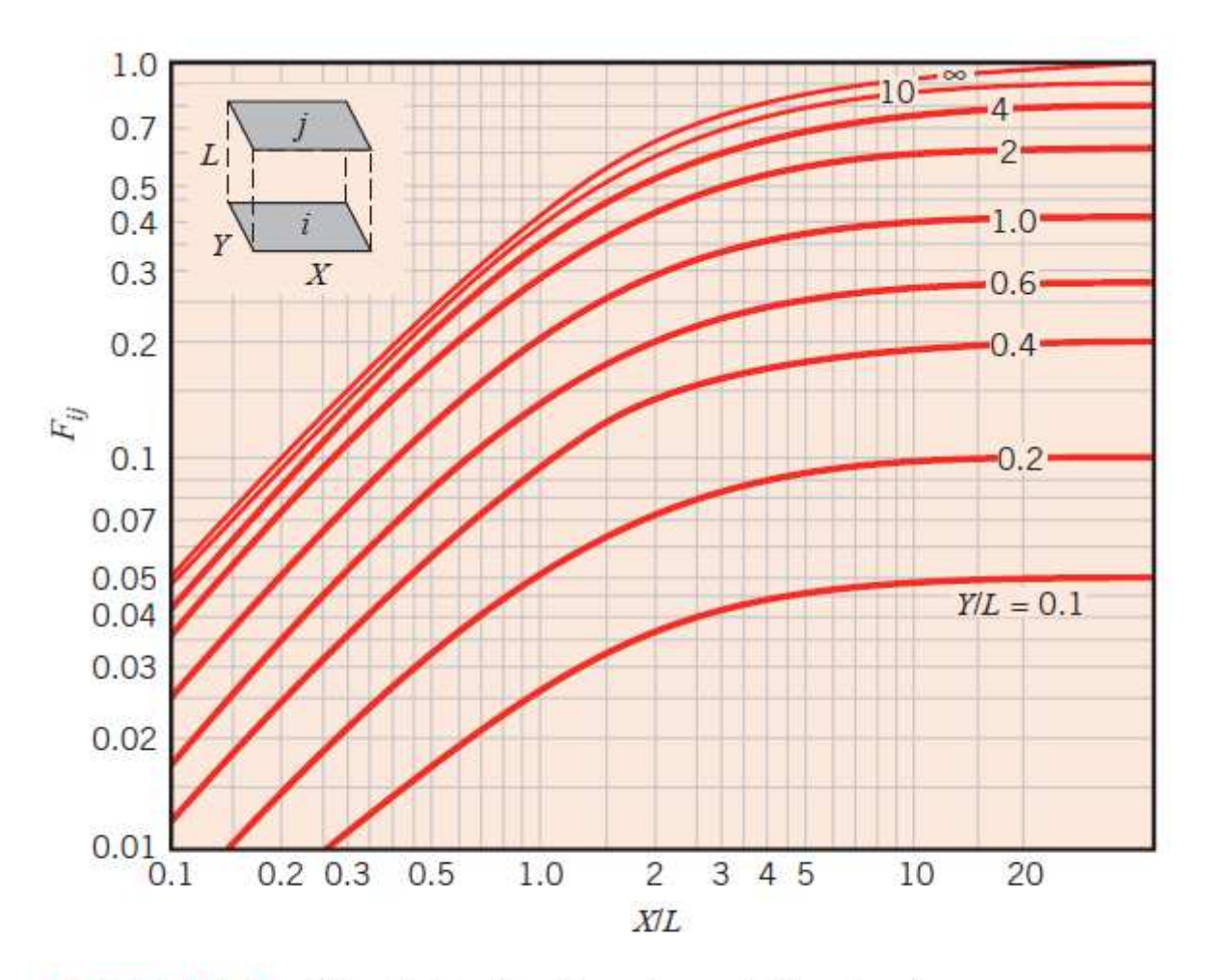


FIGURE 13.4 View factor for aligned parallel rectangles.

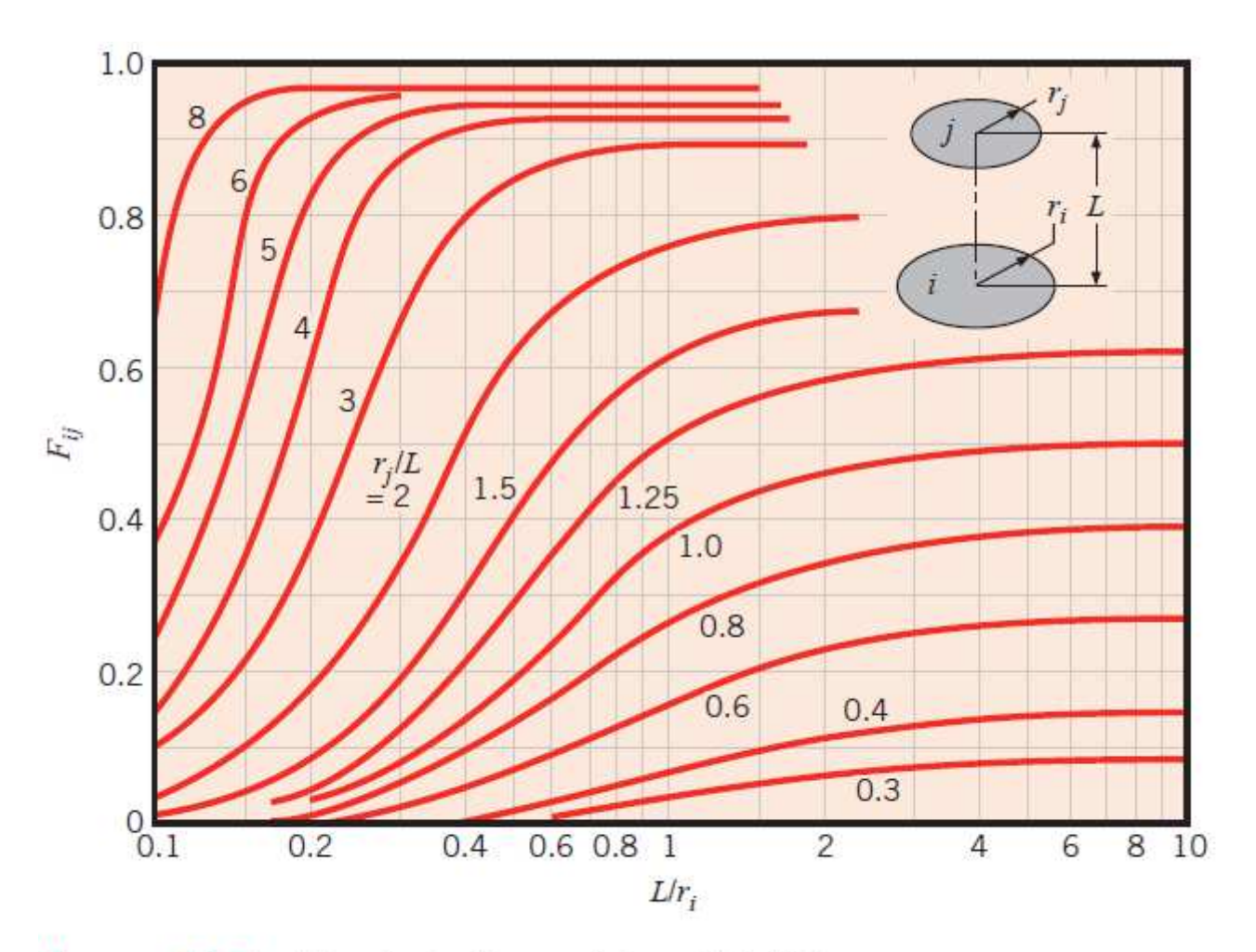


FIGURE 13.5 View factor for coaxial parallel disks.

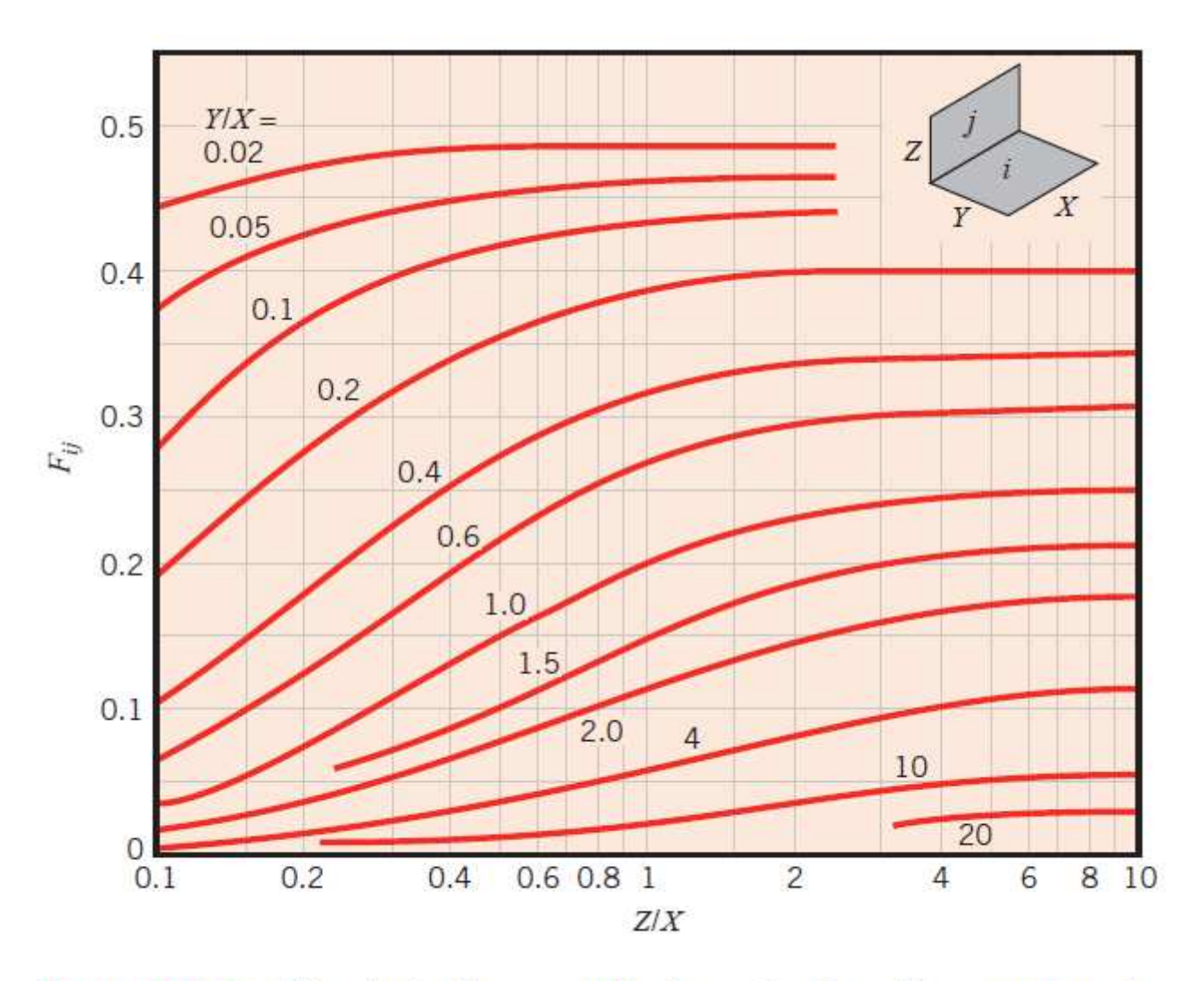
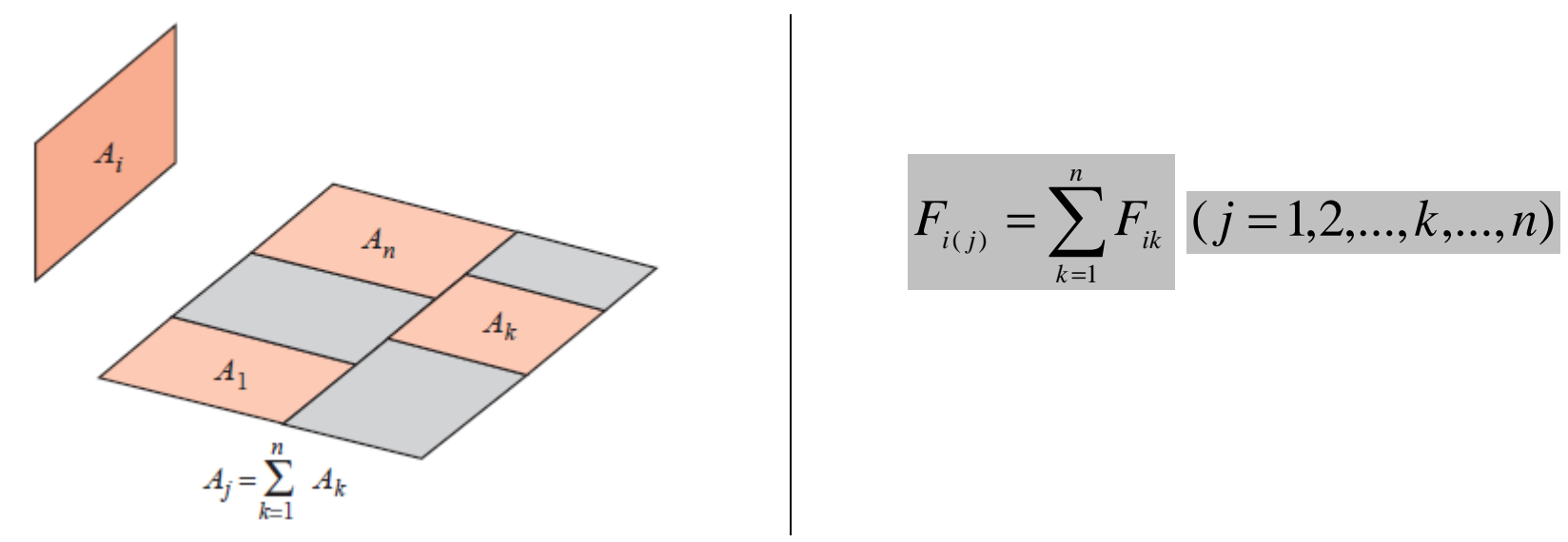


FIGURE 13.6 View factor for perpendicular rectangles with a common edge.

- Das três últimas figuras podem ser desenvolvidas duas relações adicionais para  $F_{ij}$ :
- Considerando a radiação da superfície *i* para a superfície *j*, que pode ser subdividida em *n* componentes, fica evidente que:



- Essa expressão enuncia que a radiação que atinge uma superfície composta é a soma da radiação que atinge as suas partes.

- Embora ela tenha sido obtida para a subdivisão da superfície receptora, essa expressão também pode ser utilizada para a subdivisão da superfície de origem da radiação:

$$F_{i(j)} = F_{i1} + F_{i2} + \dots + F_{ik} + \dots + F_{in} \quad (\times A_i)$$

$$A_i F_{i(j)} = A_i F_{i1} + A_i F_{i2} + ... + A_i F_{ik} + ... + A_i F_{in}$$
 (aplicando  $A_i F_{ij} = A_j F_{ji}$  em cada termo)

$$A_j F_{j(i)} = A_1 F_{1i} + A_2 F_{2i} + ... + A_k F_{ki} + ... + A_n F_{ni}$$
 (reagrupando os termos)

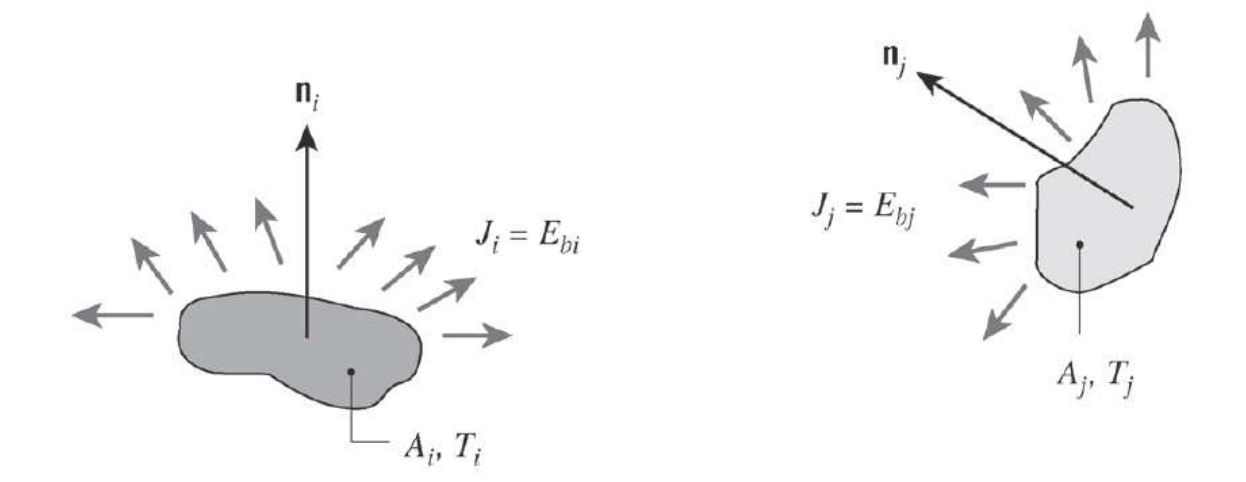
$$A_{j}F_{j(i)} = \sum_{k=1}^{n} A_{k}F_{ki}$$
  $(i = 1, 2, ..., k, ..., n)$ 

ou 
$$F_{j(i)} = \frac{\sum_{k=1}^{n} A_k F_{ki}}{A_j}$$

# 13.2-TROCA DE RADIAÇÃO ENTRE CORPOS NEGROS

- Em geral, a radiação pode deixar uma superfície em função tanto da reflexão quanto da emissão.
- Ao atingir uma segunda superfície, é refletida assim como absorvida.
- Para superfícies idealizadas como corpos negros, a análise é simplificada uma vez que não há reflexão.
- Nesse caso, a energia deixa a superfície somente da emissão e toda a radiação incidente é absorvida.

- Seja a troca radiante entre duas superfícies negras arbitrárias:



- Utilizando a definição do fator de forma, pode-se escrever uma expressão para a taxa na qual a radiação deixa a superfície *i* e é interceptada pela superfície *j*:

$$F_{ij} = \frac{q_{i \to j}}{(A_i J_i)} \Longrightarrow q_{i \to j} = (A_i J_i) F_{ij}$$

- Mas para um corpo negro, a radiosidade é igual ao poder emissivo, ou seja:

$$q_{i \to j} = (A_i J_i) F_{ij} \Longrightarrow q_{i \to j} = A_i F_{ij} E_{cni}$$

- De maneira análoga para a taxa na qual a radiação deixa a superfície *j* e é interceptada pela superfície *i*:

$$F_{ji} = \frac{q_{j \to i}}{(A_j J_j)} \Longrightarrow q_{j \to i} = A_j F_{ji} E_{cnj}$$

- A troca radiante líquida entre as duas superfícies é então calculada como:

$$q_{ij} = q_{i \to j} - q_{j \to i} = A_i F_{ij} E_{cni} - A_j F_{ji} E_{cnj}$$

- Da lei de Stefan-Boltzmann,  $E_{cn} = \sigma T^4$ , de forma que:

$$q_{ij} = q_{i \rightarrow j} - q_{j \rightarrow i} = A_i F_{ij} \sigma T_i^4 - A_j F_{ji} \sigma T_j^4$$

- Da propriedade da reciprocidade,  $A_i F_{ij} = F_{ii} A_j$ , de forma que:

$$q_{ij} = q_{i \to j} - q_{j \to i} = A_i F_{ij} \sigma T_i^4 - A_i F_{ij} \sigma T_j^4 \Rightarrow q_{ij} = A_i F_{ij} \sigma (T_i^4 - T_j^4)$$

- A expressão acima fornece uma TAXA LÍQUIDA NA QUAL A RADIAÇÃO DEIXA A SUPERFÍCIE *i* COMO UM RESULTADO DE SUA INTERAÇÃO COM *j*, QUE É IGUAL À TAXA LÍQUIDA NA QUAL *j* GANHA RADIAÇÃO DEVIDO A SUA INTERAÇÃO COM *i*.

- Para o caso de uma cavidade fechada com *N* superfícies negras mantidas a diferentes temperaturas, a expressão acima pode ser generalizada como:

$$q_{i} = \sum_{j=1}^{N} A_{i} F_{ij} \sigma (T_{i}^{4} - T_{j}^{4})$$

- O fluxo térmico radiante é então calculado como:  $q_i^{"} = \frac{q_i}{A_i}$